

H.264 帧内快速模式选择算法

程 浩,张有会,王志巍,滑斌杰,李金红

CHENG Hao,ZHANG You-hui,WANG Zhi-wei,HUA Bin-jie,LI Jin-hong

河北师范大学 数学与信息科学学院,石家庄 050016

Mathematic & Information Science College, Hebei Normal University, Shijiazhuang 050016, China

E-mail:chengs99f@163.com

CHENG Hao,ZHANG You-hui,WANG Zhi-wei,et al.Fast intra prediction algorithm of H.264/AVC. Computer Engineering and Applications, 2010, 46(12): 192–194.

Abstract: Intra prediction is an important part of H.264/AVC. The reference program from JVT (Joint Video Team) uses the full search algorithm for intra prediction which is an algorithm with high complexity and not fit for real-time video. Therefore a new fast intra prediction algorithm using template and threshold is proposed. Experimental results show that the proposed methods can reduce encoding time by 42% on average with less performance degradation and bit-rate increase.

Key words: H.264; intra prediction; template; threshold

摘要:帧内编码是 H.264 标准的一个重要组成部分,针对原标准的全搜索算法运算复杂度高,不能支持实时视频需要的问题,提出了一种基于模板和双阈值的快速算法,可以有效地减少计算复杂度。实验结果表明该算法可以在信噪比和码率变化不大的情况下,使编码时间平均减少 42%。

关键词:H.264;帧内预测;模板;阈值

DOI:10.3778/j.issn.1002-8331.2010.12.057 文章编号:1002-8331(2010)12-0192-03 文献标识码:A 中图分类号:TP391

1 引言

H.264 是由 ITU-T VCEG 和 ISO/IEC MPEG 共同建立的联合视频工作组(Joint Video Team,JVT)于 2003 年 5 月制定的^[1],与现有的视频编码标准相比,具有压缩效率高,网络性能好等一些显著优点。这与 H.264 中出现的一些新技术密不可分,如新的帧内预测编码方法,自适应块大小的运动补偿,4×4 整数变换,多参考帧和基于内容的自适应二进制算术编码等。试验结果表明在峰值信噪比(Peak Signal-to-Noise Ratio,PSNR)和视频质量方面,H.264 远优于其他现有标准,但却存在着计算复杂度过大,难以满足实时应用等缺点,因此研究有关快速算法具有重要意义^[1-3]。

帧内预测是 H.264/AVC 的一个重要组成部分,它充分利用图像的空间相关性,提高了压缩效率。然而帧内预测算法具有极高的算法复杂度,使得它不能应用于实时性要求高的场合,为了克服这种局限,一些快速算法应运而出。Pan Feng 等^[4]提出了基于边缘方向直方图的快速帧内预测模式选择算法,该算法使得每个 4×4 像素块只需计算 3~4 个预测方向;尹保才等^[5]充分利用块内部像素之间相关性更强的特点,参考同一块内已经预测过的像素预测其他像素,提出了一种基于递推模式的帧内预测算法;文献[6]利用相邻块的纹理特性减少了 4×4 块的预测模式。

文章提出了一种仅利用部分像素点来寻找最优模式的快速算法,并结合双阈值和邻近方向预测来提高预测的精度。实验结果表明该算法在 PSNR 和码率变化不大的情况下可以显著提高编码速度。

2 H.264/AVC 的帧内预测算法

H.264 帧内编码块可以分为 16×16 块、8×8 块和 4×4 块。16×16 块是针对平坦块,如图 1 所示,有 4 种预测模式:水平预

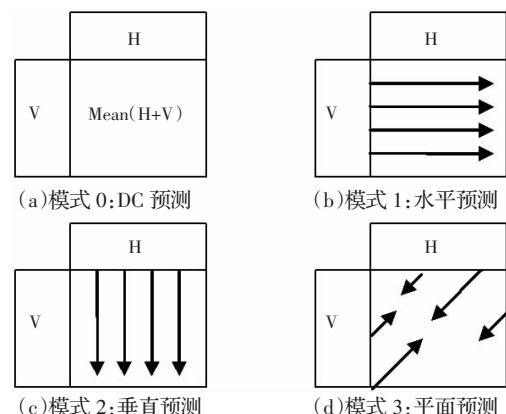


图 1 Intra_16×16 预测方向

作者简介:程浩(1983-),男,硕士研究生,研究方向为图形图像处理、数字视频编码;张有会(1955-),男,满族,教授,研究方向为计算几何、图形图像处理、数字视频编码;王志巍(1960-),男,副教授,研究方向为图形图像处理、数字视频编码;滑斌杰(1974-),男,硕士研究生,研究方向为图形图像处理、数字视频编码;李金红(1983-),女,硕士研究生,研究方向为图形图像处理、数字视频编码。

收稿日期:2008-10-07 修回日期:2009-01-04

测(V)、垂直预测(H)、均值预测(DC)和平面预测(Plane)。8×8块与16×16块的预测模式相同。对于细节较多、变化剧烈的宏块,采用4×4块,共有9种预测模式,如图2,其中方向2是均值预测,块内各像素点预测值的计算公式见文献[7]。

| | Q | A | B | C | D | E | F | G |
|---|---|---|---|---|---|---|---|---|
| I | a | b | c | d | | | | |
| J | e | f | g | h | | | | |
| K | i | j | k | l | | | | |
| L | m | n | o | p | | | | |
| M | | | | | | | | |
| N | | | | | | | | |
| O | | | | | | | | |
| P | | | | | | | | |

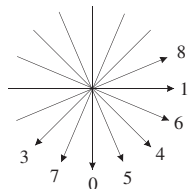


图2 9种预测模式(4×4块)

2.1 H.264/AVC 的 RDO 帧内预测算法

为了在编码质量和码率花费之间获得平衡,H.264/AVC 采用了率失真优化(Rate Distortion Optimization,RDO)作为模式选择的精确代价函数。RDO 代价函数为:

$$RD_{cost}=SSD+\lambda_{mode} \cdot Rate \quad (1)$$

其中,SSD(Sum Of Square Difference)为原始块与重建块像素值的平方差之和; λ_{mode} 为 QP 的指数函数;Rate 表示采用该预测模式需要的比特数(包括对帧内预测模式和4×4亮度块的 DCT 系数进行编码所需的比特数)。如果采用全搜索方法选取 RD_{cost} 最小的模式为最佳模式,则确定一个宏块的预测模式必须进行 $M8 \times (M4 \times 16 + M16)$ 次 RDO 计算,其中 $M8$ 、 $M4$ 、 $M16$ 分别表示 8×8 色度块、4×4 亮度块、16×16 亮度块的预测模式数,这就意味着每个宏块要进行 592 次 RDO 计算,这个计算量是非常庞大的,因而快速帧内预测算法的研究是必要的。

3 改进的快速帧内模式选择算法

3.1 改进的 4×4 块模式选择

在 H.264 中,4×4 块的预测模式比较复杂,占用时间也较多,所以针对 4×4 块的预测模式进行改进可以大大减少编码时间,提高编码速度。

在 4×4 块预测的 9 种模式中,除模式 2 外,均是基于纹理方向的。由于 4×4 块本身很小,相邻像素间具有很高的相关性,所以不必计算全部点的 8 个方向,只需根据 8 种方向的特点,

| | | | |
|---|---|---|---|
| 1 | | 3 | |
| | 2 | | 3 |
| 4 | | 1 | |
| | 4 | | 2 |

(a)右对角线

| | | | |
|---|---|---|---|
| 1 | | 3 | |
| 2 | | 4 | |
| | 1 | | 3 |
| | 2 | | 4 |

(b)垂直偏右

| | | | |
|---|---|---|---|
| | 1 | | 3 |
| 2 | | 4 | |
| | 1 | | 3 |
| | 2 | | 4 |

(c)垂直偏左

| | | | |
|---|---|---|---|
| | 3 | | 1 |
| 3 | | 2 | |
| | 1 | | 4 |
| 2 | | 4 | |

(d)左对角线

| | | | |
|---|---|---|---|
| | | 1 | 2 |
| 1 | 2 | | |
| | | 3 | 4 |
| 3 | 4 | | |

(e)水平偏上

| | | | |
|---|---|---|---|
| 1 | 2 | | |
| | | 1 | 2 |
| 3 | 4 | | |
| | | 3 | 4 |

(f)水平偏下

| | | | |
|---|--|---|--|
| | | 1 | |
| 2 | | 2 | |
| | | 3 | |
| 4 | | 4 | |

(g)水平

| | | | |
|---|---|---|---|
| 1 | | 3 | |
| 2 | | 4 | |
| | 1 | | 3 |
| | 2 | | 4 |

(h)垂直

图3 Intra_4×4 块选择的像素点

从块中选取有代表性的部分点来确定块的方向即可。通过大量的实验给出图3的8个模板,用以确定4×4块的方向。

针对上述模板,定义:

$$Df_{mode}=\sum_{mode=0, mode \neq 2}^8 |A_i-B_i| \quad (2)$$

其中, A_i 和 B_i 分别表示与 mode 模式所对应的模板中标号为 i 的两像素点的像素值。 Df_{mode} 的值越小,说明在该模式对应方向上像素之间的差值越小,成为最佳预测模式的可能性越大。对 4×4 块分别计算 8 个模式的 Df_{mode} 值,选择其中最小的作为候选模式 modeA。

由于 4×4 块的预测模式 2 不具有方向性,所以将其直接列为候选模式 modeB,不再单独考虑。

3.2 基于相邻块和相邻方向的模式预测

由于自然图像具有不同程度的相似性,图像块与其相邻块的空间相关性很强,当前块之前已编码的图像块的预测模式,即当前块的上边块(modeC)和左边块(modeD)的模式,很有可能是当前块的预测模式。因此,在编码时把 modeC 和 modeD 作为候选模式。

由于只利用了 4×4 块中的 8 个点来进行预测,为了减少误差,可以把 modeA 的相邻方向也列为参考模式。比如当 modeA=1 时,则将模式 6 和模式 8 也列为候选模式(参见图 2)。

3.3 平坦区域的判断

帧内编码的 16×16 块是针对平坦区域,而 4×4 块是针对非平坦区域,所以在进行帧内预测之前,首先要对当前块进行一下判断,看它是否属于平坦区域。

定义 Mean, SADMO(Sum of Absolute Difference between Mean value and Original value):

$$Mean=\frac{\sum_{i=0}^n P_i+8}{16} \quad (3)$$

$$SADMO=\sum_{i=0}^n |Mean-P_i| \quad (4)$$

其中,Mean 为当前块像素的平均值, P_i 为当前第 i 个像素的像素值,n 取 256。由定义知,当 SADMO 值较小时说明当前块为平坦块,当 SADMO 值较大时说明当前块为非平坦块。该文采用双阈值来进行平坦块的判断。

具体做法:计算出当前 16×16 块的 SADMO 值,若 SADMO 值小于阈值 T_1 ,则说明当前块变化缓慢,属于平坦块,则跳过 4×4 块模式预测,只进行 16×16 块模式预测;若 SADMO 值大于阈值 T_2 ,则说明当前块变化剧烈,则跳过 16×16 块模式预测,只进行 4×4 块模式预测。若 SADMO 值在 T_1 与 T_2 之间,则 16×16 块模式预测采用原 H.264 标准提供的方法,4×4 块模式预测采用提出的算法。

3.4 快速算法的具体步骤

根据上面的分析,算法的具体步骤为:

步骤1 计算 16×16 块的 SADMO 值,若 $SADMO < T_1$,则只进行原 H.264 标准提供的 16×16 块模式预测,帧内预测退出;若 $SADMO > T_2$,则转到步骤3。

步骤2 对 16×16 块采用原 H.264 模式预测,选出最优模式,作为候选模式。

步骤3 对 4×4 块分别计算 8 个 Df_{mode} 值,选出 Df_{mode} 值最小的模式作为候选模式 modeA。

步骤4 将 modeA 的相邻方向的两个模式也选为候选模式。

步骤5 将当前 4×4 块的上边和左边块的模式作为候选模式。

步骤6 把候选模式中重复的去掉, 对所有的候选模式分别计算 RDO 值, 选出最小的作为当前 4×4 块的最优预测模式, 帧内预测退出。

与全搜索算法相比, 提出的算法减少了模式方向数, 减少了计算量, 节省时间。

4 实验结果及分析

将算法应用于 JM13.2 中, 对 foreman, carphone, coastguard, container, hall, mobile 6 个典型 QCIF 格式的视频序列进行测试, 并与全搜索算法进行比较, 结果见表 1。

表 1 提出算法与 H.264 FS 相比在 PSNR、时间和码率上的变化

| 视频序列 | PSNR | 时间变化率/(%) | 码率/(%) |
|------------|-------|-----------|--------|
| foreman | -0.04 | -40.21 | 1.84 |
| carphone | -0.06 | -42.39 | 2.25 |
| coastguard | -0.04 | -38.97 | 2.00 |
| container | -0.04 | -43.31 | 1.61 |
| hall | -0.04 | -45.56 | 2.12 |
| mobile | -0.09 | -42.48 | 1.45 |

编码配置: 帧率为 30; I 帧周期为 1, 全 I 帧序列; 每个标准测试图像序列测 300 帧; RDO 开启; CAVLC 开启。 T_1, T_2 分别取 200, 4 000。

硬件配置: Intel Pentium Dual E2200 2.20GHz, 2.0GB RAM。

由表 1 可以看出, 在 PSNR 平均减少了 0.05, 码率平均上升了 1.88% 的情况下, 时间平均提高了 42.15%。这说明算法提

出的模板可以很准确地预测出 4×4 块的最优模式。

5 结束语

针对帧内全搜索算法复杂度高, 不能满足实时要求的问题, 提出了一种基于模板和双阈值的快速帧内模式算法, 由于各像素之间具有很强的空间相关性, 所以仅选用部分点, 采用 8 种模板来进行方向预测, 利用相邻块信息和相邻方向来减少误差; 利用双阈值的方法来判断宏块的平坦性。这些方法大大减少了预测的模式数, 有效地提高了帧内预测模式选择的速度。

参考文献:

- [1] ITU-T Rec H.264/ISO/IEC 14496-10 JVT-G050:Final draft international standard of joint video specification[S].JVT, 2005.
- [2] Wiegand T, Sullivan G, Bjntegaard G, et al. Overview of the H.264/AVC video coding standard[J]. IEEE Transactions on Circuits and Systems for Video Technology, 2003, 13(7): 560-576.
- [3] Richardson I E. G.H.264 and MPEG4 video compression: Video coding for next generation multimedia[M][S.l.]: John Wiley and Sons, 2003: 165-207.
- [4] Feng Pan, Xiao Lin, Rahardja S, et al. Fastmode decision for intra prediction[C]//JVT2G013, JVT of ISO/IEC MPEG & ITU2T VCEG. Thailand:[s.n.], 2003.
- [5] 尹宝才, 孙磊, 孔德慧, 等. 基于递推模式的帧内预测快速算法[J]. 北京工业大学学报, 2006, 32(3): 252-257.
- [6] 罗亮, 刘春生, 周芦明. H.264/AVC 快速帧内预测模式选择算法[J]. 计算机应用, 2008, 28(4): 1006-1008.
- [7] 毕厚杰. 新一代视频压缩编码标准 H.264/AVC[M]. 北京: 人民邮电出版社, 2005.

(上接 154 页)



图 3 噪声干扰的 cameraman 图像重建结果对比图

6 结论

提出了一种高效的基于迭代条件模型图像超分辨率重建算法, 分析了算法的原理, 并通过观测模型进行了具体的分析。通过实验结果证明, 该算法在超分辨率重建领域有效性极高, 在视觉精度尤其在计算价值上有很好的性能, 具有一定的应用价值。

参考文献:

- [1] Harris J L. Diffraction and resolving power[J]. JOSA, 1964, 54(7): 931-936.
- [2] Goodman J W. Introduction to Fourier optics[M]. New York: McGraw-Hill, 1968.
- [3] Kim S, Su W Y. Recursive high-resolution reconstruction blurred multi-frame images[J]. IEEE Transactions on Image Processing, 1993, 2

(4): 534-539.

- [4] Alam M S. Infrared image registration and high-resolution reconstruction using multiple translational shifted aliased video frames[J]. IEEE Transactions on Instrumentation and Measurement, 2000, 49(5).
- [5] Irami M, Peleg S. Improving resolution by image registration[J]. CVGIP: Graph Models Image Process, 1991, 53(3): 231-239.
- [6] Gevrekci M, Gunturk B K. Image acquisition modeling for super-resolution reconstruction[C]//IEEE International Conference on Image Processing, 2005.
- [7] He Yu, Yap Kim-Hui, Chen Li, et al. Blind super-resolution image reconstruction using a maximum a posteriori estimation [C]//IEEE International Conference on Image Processing, 2006: 1729-1732.
- [8] Su Bing-hua. POCS-MAP based super-resolution image restoration. Department of Optical Engineering, 2003.
- [9] Elad M, Feuer A. Super-resolution restoration of an image sequence: Adaptive filtering approach[J]. IEEE Transactions on Image Processing, 1999, 8(3): 387-395.
- [10] 许录平. 一种图像快速超分辨率复原方法[J]. 西安科技大学学报, 2007(3): 382-385.
- [11] Besag J. Statistical analysis of dirty pictures[J]. Journal of the Royal Statistical Society, 1986, 48: 259-302.
- [12] Mascarenhas N D A, Freyre A. CSAR image filtering with the ICM algorithm[C]//International Geoscience and Remote Sensing Symposium, 1994: 2185-2187.